

УДК 537.533.2+539.1.043+548.4

## КИСЛОРОДНО-ВАКАНСИОННЫЕ КОМПЛЕКСЫ В ОБЛУЧЕННЫХ НЕЙТРОНАМИ КРИСТАЛЛАХ ФЕНАКИТА

*A. Ф. Зацепин, В. С. Кортов, В. А. Калентьев,  
В. И. Ушкова*

Установлено, что в кристаллах фенакита  $\text{Be}_2\text{SiO}_4$  при облучении быстрыми нейтронами дозой свыше  $6 \cdot 10^{17} \text{ н} \cdot \text{см}^{-2}$  эффективно генерируются агрегатные комплексы, представляющие собой дивакансию кислорода в кремнекислородной решетке  $\text{Be}_2\text{SiO}_4$ . Указанные дефекты создают центры оптического поглощения с  $\lambda_{\max} = 250 \text{ нм}$  и обусловливают возникновение рентгенолюминесценции с  $\lambda_{\max} = 430 \text{ нм}$ . Присутствие кислородных дивакансий существенно влияет на термическое упорядочение структуры отлученного  $\text{Be}_2\text{SiO}_4$ , инициируя эффект антиотжига моновакансий кислорода ( $E'$ -центры). Температурный интервал процессов отжига поверхностных вакансационных дефектов смешен приблизительно на 100 К в область низких температур по сравнению с аналогичным интервалом для объемных дефектов.

Для широкого класса силикатных материалов достаточно подробно изучены и интерпретированы наиболее простые радиационные дефекты, связанные с одиночными кислородными вакансиями в кремнекислородной составляющей решетки [1, 2]. Более сложные радиационные нарушения либо не зарегистрированы, либо не имеют однозначной физической интерпретации. В этой связи представляет интерес изучение природы радиационных повреждений в кристаллических силикатах сравнительно простого состава.

В данной работе исследовались кристаллы фенакита  $\text{Be}_2\text{SiO}_4$ , которые по своим радиационным, оптическим, термическим и другим свойствам перспективны для использования в современной технике. Ранее [3-5] методами оптического поглощения (ОП), ЭПР и термостимулированной эзоэлектронной эмиссии (ТСЭЭ) было показано образование в объеме и на поверхности  $\text{Be}_2\text{SiO}_4$  при облучении быстрыми нейтронами в интервале доз  $10^{15}-10^{17} \text{ н} \cdot \text{см}^{-2}$  кислородно-вакансационных дефектов, аналогичных  $E'$ -центрар в кварце [1]. Установлено, что электронно-индукционные объемные  $E'$ -центры дают синглетный сигнал ЭПР, имеющий небольшую анизотропию ( $g_{\parallel}=2.0013$ ,  $g_{\perp}=2.0030$ ) и в отличие от аналогичных центров в  $\alpha$ -кварце характеризуются несколько большей шириной линии парамагнитного поглощения ( $\Delta H=3.5 \cdot 10^{-4} \text{ Тл}$ ). В спектрах ОП  $\text{Be}_2\text{SiO}_4$  указанный центр проявляется при потоках нейтронов  $\Phi_n > 10^{16} \text{ н} \cdot \text{см}^{-2}$  в виде наведенной полосы с максимумом при 220 нм, которая по аналогии с кварцем названа  $C$ -полосой. Присутствие радиационных парамагнитных  $E'$ -центров в тонких приповерхностных слоях кристаллов фенакита обуславливает возникновение «характеристического» пика ТСЭЭ при 693 К [5]. Вопрос об образовании в кристаллах  $\text{Be}_2\text{SiO}_4$  при повышенных дозах нейтронного облучения сложных агрегатизированных радиационных дефектов остается открытым.

Целью настоящей работы явилось изучение закономерностей генерации, распада и термической трансформации сложных радиационных дефектов кислородно-вакансационного типа в кристаллах фенакита. В задачу исследования входило также выявление особенностей образования и распада поверхностных радиационных дефектов и их роли в формировании эмиссионных свойств  $\text{Be}_2\text{SiO}_4$ .

## 1. Методика эксперимента

Исследуемые образцы представляли собой плоские параллельные пластины размером  $0.5 \times 10 \times 10$  мм, вырезанные из монокристаллов  $\text{Be}_2\text{SiO}_4$  перпендикулярно  $\langle 0001 \rangle$ . Образцы облучали в импульсном реакторе ИБР-30 в интервале нейтронных потоков  $6 \cdot 10^{17} - 10^{19}$  н $\cdot$ см $^{-2}$  с последующей выдержкой для спада наведенной активности до допустимого уровня.

Закономерности дефектообразования и термической трансформации объемных радиационных дефектов исследовали методами ЭПР, оптической и люминесцентной спектроскопии. Специфику радиационных эффектов в поверхностных слоях  $\text{Be}_2\text{SiO}_4$  изучали методом ТСЭЭ. Измерение ТСЭЭ проводили в режиме линейного нагрева со скоростью 10 град/мин в вакууме  $10^{-4}$  Па. Ступенчатый отжиг нейтронно-облученных образцов проводили в течение 20 мин на воздухе в температурной области 700–1350 К. Перед каждым измерением ТСЭЭ образцы дополнительно возбуждали рентгеновским излучением дозой  $\sim 2.6 \cdot 10^6$  Кл $\cdot$ кг $^{-1}$  для создания активных центров.

## 2. Экспериментальные результаты

В спектрах ОП (рис. 1) образцов, облученных нейtronами потоком выше  $6 \cdot 10^{17}$  н $\cdot$ см $^{-2}$  наряду с  $C$ -полосой, проявляющейся при меньших потоках и характеризующей образование в  $\text{Be}_2\text{SiO}_4$  одиночных кислородных вакансий, возникает дополнительная полоса наведенного оптического поглощения с  $\lambda_{\max} = 250$  нм, соответствующая  $B_2$ -полосе в  $\alpha$ -кварце и кварцевом стекле [6]. В фенаките эту полосу мы в дальнейшем будем

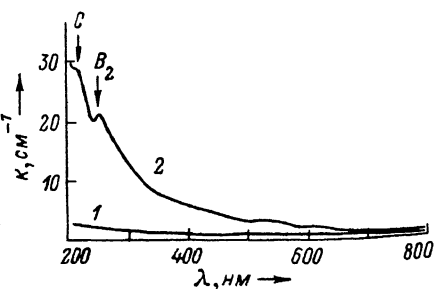


Рис. 1. Спектры ОП фенакита при 300 К.

1 — до облучения нейtronами; 2 — после облучения нейtronами ( $\Phi_n = 6.6 \cdot 10^{18}$  н $\cdot$ см $^{-2}$ ).

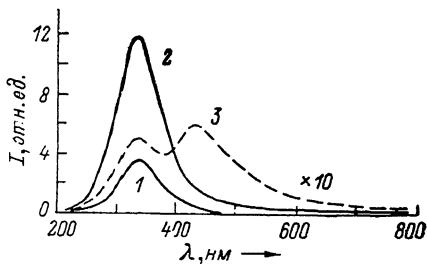


Рис. 2. Спектры РЛ фенакита при 77 К.

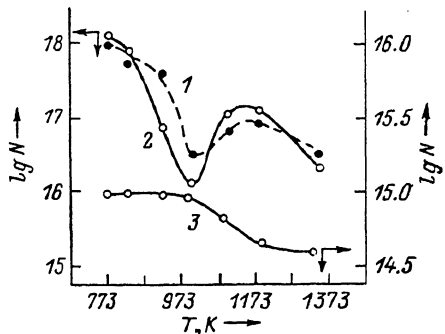
1 — до облучения, 2 — облучение нейtronами ( $\Phi_n = 1.2 \cdot 10^{15}$  н $\cdot$ см $^{-2}$ ), 3 — облучение нейtronами ( $\Phi_n = 8.5 \cdot 10^{18}$  н $\cdot$ см $^{-2}$ ).

также называть  $B_2$ -полосой. Спектр рентгенолюминесценции исходных образцов фенакита представляет собой пик с максимумом  $\lambda = 330$  нм, интенсивность которого заметно возрастает при малых дозах нейтронного облучения (рис. 2). При достаточно больших потоках быстрых нейтронов ( $\Phi_n > 10^{18}$  н $\cdot$ см $^{-2}$ ) наряду с полосой свечения  $\lambda = 330$  нм возникает полоса при  $\lambda = 430$  нм. Кинетика накопления  $B_2$ -полосы коррелирует с изменением интенсивности РЛ при  $\lambda = 430$  нм.

Для получения дополнительных сведений о природе  $B_2$ -полосы и РЛ облученного фенакита исследовалась кинетика термического разрушения объемных радиационно-индуцированных дефектов, регистрируемых методами ЭПР и оптической спектроскопии. Концентрация радиационных  $E'$ -центров в фенаките была определена методом количественной ЭПР спектроскопии (в качестве эталона использовали сигнал от  $\text{Cu}^{2+}$  в  $\text{CuSO}_4 \cdot 5\text{H}_2\text{O}$  с известной концентрацией спинов). Исходя из идентичности природы оптических  $C$ - и парамагнитных  $E'$ -центров по формуле Смакулы была оценена сила осциллятора центра, поглощающего при  $\lambda = 220$  нм, которая оказалась равной  $f \approx 0.01$ , что характерно для электрических ди-

польных переходов. Найденное значение  $f$  позволило количественно определить изменение концентрации оптических  $C$ -центров в  $\text{Be}_2\text{SiO}_4$  после отжига при различных температурах. Подобная процедура определения концентрации поглощающих центров не применима к центрам, вызывающим возникновение  $B_2$ -полосы в спектре ОП фенакита, так как генерация указанных центров не сопровождается появлением сигнала ЭПР. Поэтому изменение их концентрации при термическом отжиге определено в относительных единицах. На рис. 3 приведены зависимости изменения концентрации  $C$ - и  $B_2$ -центров и парамагнитных  $E'$ -центров в условиях изо-

Рис. 3. Температурная зависимость концентрации парамагнитных  $E'$ -центров (1), оптических  $C$ -центров (2) и  $B_2$ -центров (3) в фенаките, облученном быстрыми нейтронами  $\Phi_n = 7.5 \cdot 10^{17} \text{ н} \cdot \text{см}^{-2}$ .



хронного отжига. Как видно из рисунка, в интервале температур 770—1000 K наблюдается уменьшение концентрации  $E'$ -центров и оптических  $C$ -центров от  $10^{18}$  до  $10^{16} \text{ см}^{-3}$ , соответствующее термическому отжигу одиночных кислородных вакансий в фенаките. При этом концентрация  $B_2$ -центров остается постоянной. В области 1000—1200 K регистрируется резкий спад концентрации  $B_2$ -центров, одновременно наблюдается эффект антиотжига  $E'$ - и  $C$ -центров, проявляющийся в росте их концентрации.

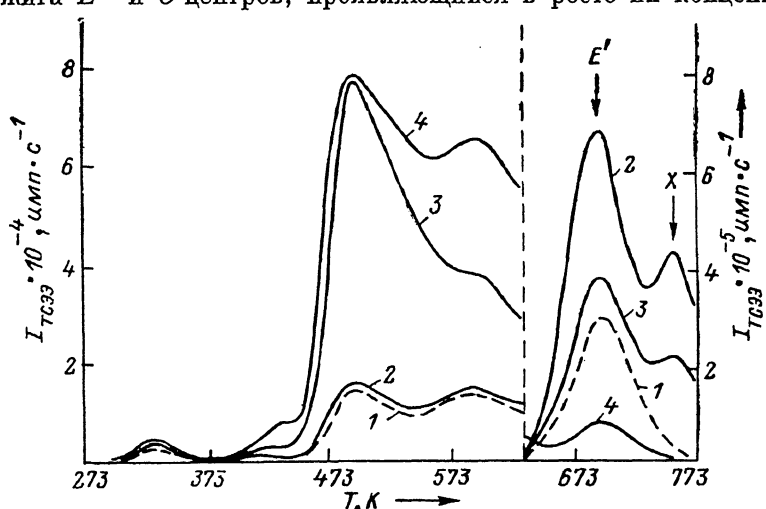


Рис. 4. Кривые ТСЭЭ нейтронно-облученного фенакита ( $\Phi_n = 7.5 \cdot 10^{17} \text{ н} \cdot \text{см}^{-2}$ ) при термическом отжиге и последующем возбуждении рентгеновским излучением.

1 — 300, 2 — 280, 3 — 973, 4 — 1073 K.

Дальнейшее повышение температуры ступенчатого отжига вновь приводит к уменьшению количества  $C$ - и  $E'$ -центров. Следует подчеркнуть, что такое поведение объемных центров при отжиге свойственно только для тех образцов фенакита, которые облучены нейтронными потоками  $\Phi_n \geqslant 6 \cdot 10^{17}$ , т. е. в интервале доз интенсивного образования радиационных повреждений, в частности создания  $B_2$ -центров.

Особенности термического отжига кислородно-вакансационных дефектов в приповерхностных слоях фенакита иллюстрируют результаты измерения ТСЭЭ. На рис. 4 представлены кривые ТСЭЭ нейтронно-облученного фенакита при нескольких последовательных температурах ступенчатого от-

жига, а на рис. 5 — изменение экзосуммы радиационно-индуцированных пиков ТСЭЭ при их изохронном отжиге. Изменение интенсивности пика ТСЭЭ при 693 К, обусловленного распадом парамагнитных  $E'$ -центров в приповерхностных слоях кристалла, аналогично изменению концентрации объемных оптических  $C$ - и парамагнитных  $E'$ -центров: в области температур 750—870 К наблюдается спад интенсивности эмиссии, затем ее рост в области 870—970 К, а при дальнейшем повышении температуры отжига вновь регистрируется уменьшение эмиссионной активности в пике

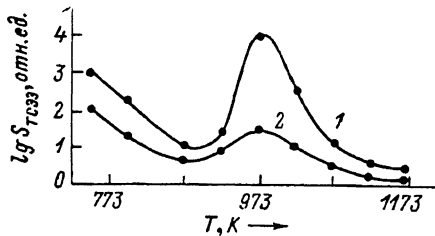


Рис. 5. Температурная зависимость логарифма экзосуммы при изохронном отжиге нейтронно-облученного монооксида кремния (фенакита).

$\Phi_R = 7.5 \cdot 10^{17} \text{ н} \cdot \text{см}^{-2}$ . 1 — 693, 2 — 753 К.

693 К. Отличие поведения радиационно-индуцированных приповерхностных  $E'$ -центров от объемных заключается лишь в наличии температурного сдвига процесса антиотжига  $\sim 100$  К в низкотемпературную область, что следует приписать понижению активационных барьеров процесса диффузионного отжига в более разупорядоченной приповерхностной области кристалла. Кроме того, в результате отжига при  $T > 700$  К возникает новый эмиссионно-активный центр, дающий пик ТСЭЭ при 753 К. Интенсивность термоиндуцированного пика изменяется при ступенчатом отжиге симбатно интенсивности пика ТСЭЭ при 693 К.

### 3. Обсуждение результатов

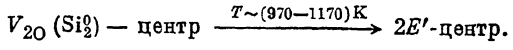
Совокупность описанных экспериментальных результатов можно объяснить, полагая, что при использованных нами потоках нейтронов ( $\Phi \geq 6 \cdot 10^{17} \text{ н} \cdot \text{см}^{-2}$ ) в кремнекислородной составляющей кристаллической решетки фенакита наряду с уже описанными одиночными кислородными вакансиями ( $C$ -полоса,  $E'$ -центр) образуются дивакансии кислорода, дающие полосу оптического поглощения  $\lambda_{\max} = 250$  нм и обусловливающие возникновение РЛ с  $\lambda = 430$  нм. Аналогами таких дефектов являются недавно обнаруженные [6, 7] в объеме и на поверхности стеклообразного кварца двухкоординированные атомы кремния  $\text{Si}_2^0$  (силиеновый центр  $\text{Si}: \text{Si}_2^0$ ).  $\text{Si}_2^0$ -центры в кварцевом стекле дают полосы люминесценции при  $\lambda = 280$  нм и  $\lambda = 480$  нм, соответствующие их синглетному возбужденному состоянию, и полосу ОП с максимумом (240—250) нм.

В кристаллической матрице  $\text{Be}_2\text{SiO}_4$  присутствие центров типа  $\text{Si}_2^0$  следует интерпретировать как дивакансии кислорода. Такие центры образуются преимущественно в результате смещения атомов кислорода из регулярных позиций в анионной подрешетке [8] в отличие от неупорядоченных структур, где более вероятным является разрыв  $\text{Si}-\text{O}$ -связи и образование трех- или двухкоординированных атомов кремния [8]. В пользу такой трактовки свидетельствуют результаты изучения рентгеноэлектронных  $\text{Si}$  2p-спектров нейтронно-облученных кристаллов  $\alpha\text{-SiO}_2$  и  $\text{Be}_2\text{SiO}_4$  [9]. В этих спектрах наряду с  $\text{Si}$  2p-линией необлученных кристаллов и компонентой, связанной с изменением координационного окружения атомов кремния при образовании моновакансии кислорода в кремнекислородном тетраэдре, возникает низкоэнергетический максимум ( $E_{\text{cb}} = 99.5$  эВ), обусловленный ассоциированными дефектами подобного типа с большим числом кислородных вакансий.

Значение энергии активации отжига  $E'$ -предцентров ( $E_{\text{акт}} = 51$  ккал/моль) [10], определенное на основании данных по кинетике отжига [10], близко к энергии активации диффузии кислорода в кристаллическом

(55 ккал/моль) и стеклообразном (56 ккал/моль)  $\text{SiO}_2$ <sup>[11]</sup>. Этот факт позволяет считать наиболее вероятным механизмом отжига простых кислородно-вакансационных дефектов термодиффузию смешенного при нейтронном облучении кислорода с последующей его рекомбинацией с кислородными вакансиями.

Создание в  $\text{Be}_2\text{SiO}_4$  при облучении большими потоками нейтронов ( $\Phi_n \geq 6 \cdot 10^{17} \text{ н} \cdot \text{см}^{-2}$ ) дивакансий кислорода определяет возможность двух конкурирующих механизмов отжига радиационных нарушений кристаллической решетки. С одной стороны, в результате распада сложных вакансационных дефектов происходит дополнительная генерация  $E'$ -центров по схеме



С другой стороны, диффузионная рекомбинация ионов кислорода и кислородных вакансий приводит к уменьшению концентрации указанных дефектов. Результатом является наблюдаемый эффект антиотжига на кривых отжига  $E'$ -центров (рис. 3).

Регистрация эффекта антиотжига на кривых термического распада эмиссионно-активных дефектов (рис. 5) свидетельствует о генерации при облучении нейтронами кислородных дивакансий и в приповерхностных слоях фенакита. Низкотемпературный сдвиг пика на кривой отжига поверхностных кислородных вакансий по сравнению с объемными (рис. 3 и 5) определяется, по-видимому, как спецификой диффузионных процессов в разупорядоченных приповерхностных слоях  $\text{Be}_2\text{SiO}_4$ , так и влиянием термостимулированной миграции одиночных вакансий кислорода для дефектов подобного рода. Указанными факторами может быть объяснено также пониженное значение энергии активации отжига, приповерхностных  $E'$ -предцентров ( $E_{акт} = 22 \text{ ккал/моль}$ ).

Симбатный характер изменения экзосуммы пиков ТСЭЭ при 693 и 753 К, а также наличие в обоих случаях эффекта антиотжига и близость их температурного положения позволяют предполагать, что возникающий при отжиге новый эмиссионно-активный центр имеет природу, близкую  $E'$ -центру, т. е. связан с присутствием одиночных кислородных вакансий, однако имеет отличную от  $E'$ -центра микроструктуру. Наиболее вероятно, что в ближайшее окружение указанного центра входят щелочные ионы-компенсаторы  $M^+$  или протоны<sup>[12]</sup>. Формирование нового термоиндуцированного центра целесообразно связать с термостимулированной миграцией щелочей<sup>[13]</sup>, которая вызывает перераспределение компенсаторов между имеющимися и генерируемыми в процессе отжига дефектами и стабилизацию части  $E'$ -центров примесными ионами-компенсаторами. Указанный процесс приводит к тому, что в фенаките возникает два вида эмиссионно-активных дефектов вакансационного типа, различающихся между собой микроструктурой и энергетическими параметрами.

## Л и т е р а т у р а

- [1] Вахидов Ш. А., Гасанов Э. М., Самойлович М. И., Яркулов У. Радиационные эффекты в кварце. Ташкент: Изд-во ФАН, 1975. 187 с.
- [2] Бреходских С. М., Викторова Ю. Н., Гринштейн Ю. Л., Ланда Л. М. Основы радиационного материаловедения стекла и керамики. М.: Стройиздат, 1971. 256 с.
- [3] Зацепин А. Ф., Кортов В. С., Пилипенко Г. И., Ушкова В. И. Вопросы атомной науки и техники, серия: Физика радиац. повреждений и радиац. материаловедения, 1983, вып. 1 (24), с. 89—91.
- [4] Зацепин А. Ф., Кортов В. С., Ушкова В. И. ЖТФ, 1981, т. 51, № 10, с. 2105—2108.
- [5] Kortov V. S., Zatsepin A. F., Ushkova V. I. Phys. Chem. Minerals, 1985, N 12, p. 114—121.
- [6] Skuja L. N., Streletsky A. N., Pakovich A. B. Sol. St. Commun., 1984, vol. 50, N 12, p. 1069—1072.

- [7] Скуя Л. Н., Стрелецкий А. Н. Изв. АН ЛатвССР, серия физ. и техн. наук, 1985, № 4, с. 47—56.
- [8] Силинь А. Р., Трухин А. Н. Точечные дефекты и элементарные возбуждения в кристаллическом и стеклообразном  $\text{SiO}_2$ . Рига: Зинатне, 1985. 244 с.
- [9] Кортое В. С., Шабанова И. Н., Зацепин А. Ф., Ломаева С. Ф., Ушкова В. И., Баянкин В. Я. Поверхность. Физика, химия, механика, 1983, № 2, с. 110—114.
- [10] Зацепин А. Ф., Калентьев В. А., Ушкова В. И. В кн.: V Всесоюзн. совещание по радиац. физике и химии ионных кристаллов: Тезисы докл. Рига, 1983, с. 405—406.
- [11] Новохатский И. А. Газы в окисных расплавах. М.: Металлургия, 1975. 213 с.
- [12] Isoya J., Weil J. A., Halliburton L. E. J. Chem. Phys., 1981, vol. 74, N 10, p. 5436—5448.
- [13] Самойлович М. И., Цинобер Л. И., Хаджи В. Е., Гордиенко Л. А. Кристаллография, 1972, № 1, с. 184—188.

Уральский политехнический  
институт им. С. М. Кирова  
Свердловск

Поступило в Редакцию  
29 октября 1987 г.